

تنفس جان تیوروق های فولادی در پل ها تحت بار ترافیک

هرگان یعقوب شاهی (دکمی)

محمد مهدی علی نیا^{*} (استاد)

دانشکده هندسی عمران و محیط زیست، دانشگاه صنعتی امیرکبیر

در روش طراحی حدی، به جان تیوروق های فولادی اجازه کمانش برخی داده می شود تا از ظرفیت مقاومتی میدان کشش آنها استفاده شود. تغییرشکل های خارج از صفحه ای تکرارشونده تحت بارهای تکرارشونده فرای بار کمانش، در جان تیوروق ایجاد می شود که به پذیده هی تنفس جان موسوم است و سبب ایجاد تغییرات بالای تنش های خمشی ثانویه در مرزهای جان می شود. تنش های مذکور در ترکیب با تنش های غشایی موجود، منجر به ترک های خستگی در نواحی ذکر شده می شوند. حالت تنش ها در محل های بحرانی ایجاد خستگی، بسیار مهم است. در نوشتار حاضر، تحلیل عددی گستردگی بر تیوروق های فولادی برای بررسی حالت تنش در جان تنفس کننده ضمن مدل سازی رفتار پس کمانش ورق صورت گرفته است. در پیشتر آینه های طراحی سازه های فولادی، طبقه بنده خاصی بر مبنای تنش اسمی برای تعیین عمر خستگی جان تنفس کننده عرفی نشده است. بنابراین در نوشتار حاضر از روش تنش های هندسی در نواحی بحرانی کنار جوش استفاده شده است.

myaghoubshahi@aut.ac.ir
m.alinia@aut.ac.ir

واژگان کلیدی: تنفس جان، روش اجزاء محدود، خستگی، تیوروق فولادی.

۱. مقدمه

تحت بارهای تکرارشونده، نیازمند بررسی گسیختگی خستگی ناشی از تنفس آنهاست.^[۱]

در پژوهش های بسیاری به کمک مطالعات آزمایشگاهی، خستگی ناشی از تنفس جان بررسی شده است. برای مثال، برخی پژوهشگران،^[۲] سری جامعی از آزمایش های خستگی بر تیوروق های چند پانلی با نسبت های جانبی (طول به عمق) و لاغری های (عمق به ضخامت) مختلف پانل ها انجام داده اند. بارگذاری تیوروق ها منجر به ایجاد نیروی برش عمده در بعضی پانل ها و خمی عمدہ در برخی دیگر می شود. در آزمایش های مذکور، تنش های خمشی ثانویه در محل ترک های خستگی ناشی از تغییرشکل های خارج از صفحه ای پانل با استفاده از روش تفاوت محدود اندازه گیری شده است.

در سال ۱۹۷۱^[۳] یک سری آزمایش های خستگی بر تیوروق های هیبریدی با مقیاس بزرگ و نیز نمونه های پانل مجراء جان انجام و ۳ روش بارگذاری خستگی مختلف، یعنی: برش، خمی و ترکیب برش و خمی در مدل ها در نظر گرفته شد و نیز اثر نسبت های جانی و لاغری های مختلف در مدل های مذکور مطالعه شد. در سال ۱۹۸۶^[۴]، نیز ۶ تیوروق نازک با مقیاس بزرگ تحت خش خالص آزمایش شدند و فقط اثر دو نسبت جانی و لاغری متفاوت در آزمایش ها بررسی شد. همچنین در مطالعات آزمایشگاهی دیگر،^[۵] عمر خستگی تیوروق ها با لحاظ کردن تنفس جان آنها ارزیابی شد. از دیگر مطالعات آزمایشگاهی می توان به آزمایش های انجام شده در مؤسسه های مکانیک کاربردی و تئوری پراگ اشاره کرد که در آنها با توجه

به منظور استفاده از ظرفیت بالای مقاومت پس کمانش ورق های نازک فولادی، برخی آینه های طراحی در روش حدی نهایی، به ورق های فولادی اجازه بارگذاری فرای بار کمانش کشسان را می دهند. بر این اساس در تیوروق های فولادی، ورق های جان برای استفاده از میدان کشش طراحی می شوند. زمانی که جان تیوروق ها تحت بارگذاری کمانش می کند، دستخوش تغییرشکل های کشسان و غیرکشسان خارج از صفحه ای نسبتاً بزرگ می شود. در اثر تغییرشکل های خارج از صفحه ای مذکور، تنش های خمشی ثانویه در مرزهای ورق جان، یعنی نزدیک پانل ها و سخت کننده های عمودی، ایجاد می شوند.^[۶] تیوروق های I شکل فولادی استفاده شده در پل ها، عموماً تحت بارهای سرویس تکرارشونده و سوأط نقلیه هستند. وقتی مقدار بارهای تکرارشونده ذکر شده بیشتر از حد کمانش جان تیر باشند، تنش های غشایی موجود در ورق به همراه دامنه ای تنش های خمشی ثانویه ناشی از تغییرشکل های خارج از صفحه منجر به ترک های خستگی می شوند که رشد متعاقب آنها ممکن است منجر به گسیختگی زودهنگام در مرزهای جان، جایی که میدان کشش مهار می شود، شود. پذیده هی تغییرشکل های خارج از صفحه ای تکرارشونده ورق های لاغر که در اثر اعمال بارهای داخل صفحه ای تکرارشونده ایجاد می شود، به اثر تنفس موسوم است.^[۷] بنابراین استفاده از ظرفیت پس کمانش ورق ها در سازه های

* نویسنده مسئول

تاریخ: دریافت ۱۴، ۱۳۹۵/۴/۱۳، اصلاحیه ۱۰، ۱۳۹۵/۸/۲۲. پذیرش ۱۳۹۵/۸/۲۲

DOI: 10.24200/J30.2018.1366

کتابخانه‌ی نرم‌افزار مارک شبیه‌سازی شده است. المان مذکور، یک المان پوسته‌ی ضخیم ۴ گردبی با ۶ درجه آزادی شامل ۳ درجه آزادی انتقالی و ۲ درجه آزادی چرخشی در هر گره است. المان پوسته‌ی مذکور از الگوی انگرال کاوش یافته که فقط یک نقطه را برای تشکیل ماتریس سختی استفاده می‌کند. همچنین المان مذکور روش کرنش طبیعی فرض شده (ANS) را برای جلوگیری از قفل شدن برش به کار می‌گیرد. میدان کرنش از تأنسور کرنش لاغرانژین بر مبنای سیستم مختصات همرفتی به دست می‌آید. در المان پوسته‌ی ذکر شده از پارامترهایی نیز برای ارتقاء کرنش‌های برشی و غشایی استفاده شده است که علاوه بر اصلاح رفتار برش عرضی، در برآورد دقیق رفتار پس‌کمانش ورق‌ها نیز بسیار مؤثر است. المان به طور هندسی با مختصات (X, Y, Z) هر ۴ نقطه تعریف می‌شود و به سبب درون‌یابی دوخطی، رویه‌ی هذلولی را می‌تواند تشکیل دهد و به حالت یک صفحه‌ی صاف نیز کاوش یابد. انگرال‌گیری در امتداد ضخامت پوسته به روش عددی سیمپسون با درنظر گرفتن تعداد فرد نقاط انگرال‌گیری انجام می‌شود.

آنالیز حساسیت و راستی آزمایی نرم‌افزار MSC MARC با اندازه‌گیری تنش بحرانی کمانش برشی یک پانل مربع‌شکل با ابعاد $300 \times 300 \text{ mm}$ و ضخامت ۱ mm با درنظر گرفتن دو شرط مرزی ۴ لبه‌ی ساده و ۴ لبه‌ی گیردار با مقایسه با روابط تئوری تنش برشی بحرانی ورق‌های تخت انجام شده است. معادله‌ی ۱، برای محاسبه‌ی تنش برشی بحرانی برای صفحات تخت مستطیلی ارائه شده است که به طور فراگیر در همه جا پذیرفته شده است:

$$\tau_{cr} = \frac{k_s \pi^2 E}{12(1 - \nu^2)} \left(\frac{t}{b}\right)^2 \quad (1)$$

که در آن، τ_{cr} تنش برشی بحرانی، E مدول کشسانی، ν نسبت پواسون، b عرض ورق و t ضخامت ورق است. برای ورق‌های با ۴ لبه‌ی ساده، از رابطه‌ی ۲ استفاده می‌شود:

$$k_s = \frac{4}{5/34 \varphi} \quad \text{for } \varphi \geq 1 \quad (2)$$

و برای ورق‌های با ۴ لبه‌ی گیردار، از رابطه‌ی ۳ استفاده می‌شود:

$$k_s = \frac{8/98}{\varphi^1} \quad \text{for } \varphi \geq 1 \quad (3)$$

برای ورق مذکور با فرض مدول کشسانی ۲۱۰ (GPa) و نسبت پواسون ۰/۳ در حالت ۴ لبه‌ی ساده $k_s = ۹/۳۴$ ، $k_s = ۱۹۶/۹۷ \text{ kg/cm}^2$ ، $\tau_{cr}^{ss} = ۷,۷_{cr}^{cl} = ۲۰۷,۴۸ \text{ kg/cm}^2$ لبه‌ی گیردار $k_s = ۱۴/۵۸$ ، $k_s = ۲۰۷,۴۸ \text{ kg/cm}^2$ محسوبه شدند. همچنین برای هندسه و شرایط مرزی مطابق شکل ۱، آنالیز حساسیت با تعداد المان‌های مختلف انجام و تغییرات درصد خطای به دست آمده از مقایسه‌ی نتایج اجزاء محدود با مقادیر تئوری در مقابل تعداد المان‌های مختلف در شکل ۲ ترسیم شده است. با توجه به شکل ۲، المان نتایج با یک مشبّه شده 15×15 دقت کافی کمتر از ۱٪ خطأ دارند. با این حال برای آنالیز پس‌کمانش، مش 24×24 المان استفاده شده است که در ورق مذکور معادل المان‌هایی به ابعاد $12,5 \times 12,5 \text{ میلی‌متر}$ است. در مطالعه‌ی حاضر، ابعاد مش مذکور برای المان‌بندی تیورق‌های فلزی استفاده شده است.

در مدل سازی اجزاء محدود تیورق‌های مطالعه‌ی حاضر، آثار غیرخطی مصالح و هندسی در آنالیز پس‌کمانش آن‌ها در نظر گرفته شده است. یک روش مرسوم در مدل سازی اجزاء محدود پس‌کمانش ورق‌های فولادی، اعمال جابه‌جایی اولیه‌ی بسیار کوچک بر مبنای شکل مود اول کمانش است. بنابراین ابتدا آنالیز کمانش تیورق‌ها

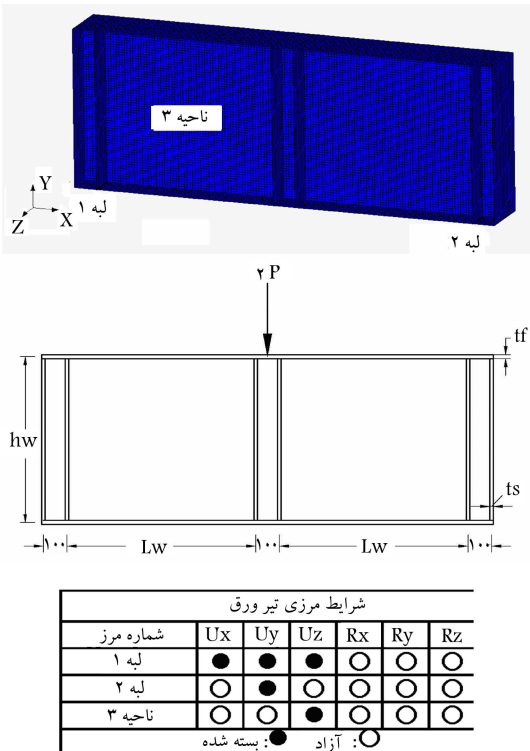
به یافته‌های آزمایشگاهی، یک سری منحنی‌های S-N برای تقریب عمر خستگی جان تنفس‌کننده پیشنهاد شده است.^[۱۱, ۱۰] در مطالعه‌ی دیگری (۲۰۱۰)،^[۱۲] نیز اثر شکل و مقدار نقص اولیه‌ی هندسی در مقاومت خستگی جان تیورق‌ها تحت ترکیب تنش‌های برشی و خمشی انجام شد و مقدار و شکل نقص اولیه با استفاده از روش‌های آماری و نتایج بدست آمده از آزمایش‌ها تعیین و مدل‌های تیورق‌ها با استفاده از روش اجزاء محدود آنالیز و ظرفیت باربری آن‌ها برای حالت حدی خستگی تخمین زده شد.

در اغلب آینه‌های طراحی و از جمله آینه‌های اروپا شماره‌ی ۱۳ (۲۰۰۰)،^[۱۳] و حتی دستورالعمل‌های طراحی بل، جزئیات طبقه‌بندی شده‌ی مشخصی بر مبنای تنش اسیمی برای برآورد عمر خستگی ورق‌های تنفس‌کننده موجود نیست. در آینه‌های اروپا برای ارزیابی عمر خستگی جزئیات طبقه‌بندی نشده، روش دامنه‌ی تنش‌های هندسی توصیه شده است. دامنه‌ی تنش‌های هندسی به دامنه‌ی بیشینه‌ی تنش‌های اصلی سطحی در مجاورت پنجه‌ی جوش اطلاق می‌شود. برای محاسبه‌ی کمیت مذکور آثار تمرکز تنش به سبب هندسه‌ی کلی، جزئیات سازه‌ی مدنظر لحاظ و از آثار تمرکز تنش به دلیل پروفایل جوش صرف نظر می‌شود. در جان تنفس‌کننده، تنش‌های غشایی و تنش‌های خمشی ثانویه در مزهای جان، تنش‌های سطحی در نواحی مذکور تشکیل می‌شود. برخی پژوهشگران،^[۱۴, ۱۵] با استفاده از روش معادلات دیفرانسیل ورق و روش گالرکین توانستند تنش‌های ذکر شده‌ی نیزه‌ی مرتبط با خستگی ورق را محاسبه کنند. در سال ۱۹۹۶،^[۱۶] نیز یک روش تحلیلی تقریبی برای تخمین دامنه‌ی تنش‌های سطحی در ورق‌های جان در معرض بارگذاری برشی ارائه شد. همچنین در سال ۲۰۰۴^[۱۷] خستگی یک پانل با و بدون سخت‌کننده‌های طولی به طور عددی بررسی شد. همه‌ی مطالعات عددی مذکور، دامنه‌ی تنش‌های هندسی را در مزهای یک پانل مجرأ تحت تنش‌های برشی و تنش‌های خمش داخل صفحه محاسبه کرده‌اند، اما هیچ‌یک تنش جان در کل تیورق را با درنظر گرفتن آثار احتمالی اجراء مرزی مطالعه نکرده‌اند. لذا در نوشتار حاضر، اثر تنفس جان در تیورق‌های فولادی مطالعه و با استفاده از روش اجزاء محدود غیرخطی، تیورق‌های مذکور مدل سازی عددی شده‌اند.

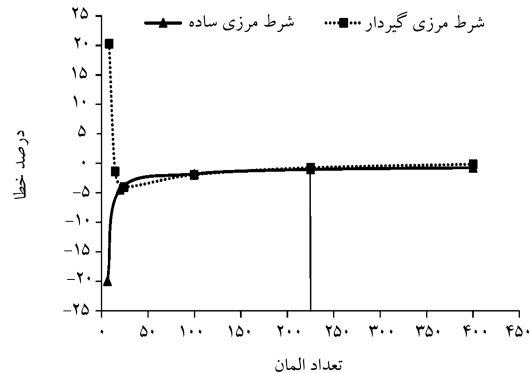
همچنین برای مطالعه‌ی تنفس ورق جان تیورق‌های فولادی، آنالیز پس‌کمانش جان آن‌ها در مدل سازی اجراء محدود صورت گرفته و محل شروع ترک خستگی ناشی از اثر تنفس براساس حالت تنش‌های دورق جان بحث شده است. اثر پارامترهای هندسی مختلف نیز در حالت تنش‌ها، شامل: نسبت جانی جان، نسبت لاغری، مقدار و شکل نقص هندسی اولیه و ساختی اعضاء مرزی در حالت تنش‌ها در ورق جان بررسی شده است. در انتها از آنجا که جزئیات طبقه‌بندی شده‌ی برای تنفس ورق‌ها در آینه‌های اروپا ارائه نشده است، عمر خستگی تیورق‌های مذکور با استفاده از روش تنش‌های هندسی موجود در آینه‌های اروپا محاسبه شده است.

۲. روش اجزاء محدود

همان‌طور که در بخش مقدمه ذکر شد، برای بررسی حالت تنش‌ها در جان تیورق‌ها، در مرحله‌ی پس‌کمانش در نوشتار حاضر از روش اجزاء محدود استفاده شده است. در مطالعه‌ی حاضر، شبیه‌سازی‌های عددی مدل‌ها با استفاده از نرم‌افزار اجزاء محدود تجاری MSC MARC v۲۰.۱۲/۱ که نرم‌افزاری بسیار توانمند در مدل سازی رفتارهای غیرخطی هندسی و مصالح است و مدل‌های متعددی برای بررسی و امانندگی سازه‌ها دارد، انجام شده است. تیورق‌ها با استفاده از المان ۱۴۰



شکل ۱. المان‌های پانل برشی و شرایط مرزی.



شکل ۲. آنالیز حساسیت و راستی آزمایی نتایج پانل برشی.

شکل ۳. مدل اجزاء محدود، شرایط هندسی و خصوصیات هندسی تیرورق دو پانلی تحت بار متمرکز میان دهانه.

و همچنین $t_s = 7 \text{ mm}$ در نظر گرفته شده است. آنالیز اجزاء محدود با فرض $I_m = 2400 \text{ kNm}$ تحت بار نقطه‌بی وسط دهانه است. $2P = 400 \text{ kN}$ انجام شده است. در مطالعات آزمایشگاهی موجود در زمینه‌ی نفس جان، فقط یکی از پانل‌های جان با گیج‌های اندازه‌گیری کرنش مجهز و پانل مجاور توسط یک سخت‌کننده‌ی چوبی در جهت قطعی مهار شده است تا از تعییرشکل‌های خارج از صفحه‌ی آن مماعت شود.^[۲] برای شبیه‌سازی شرایط ذکر شده در مدل اجزاء محدود، درجه آزادی همه‌ی گره‌های المان‌های موجود در یک پانل (پانل سمت چپ) در جهت محور Z بسته شده‌اند (شکل ۳).

۲.۳. خواص مکانیکی مصالح

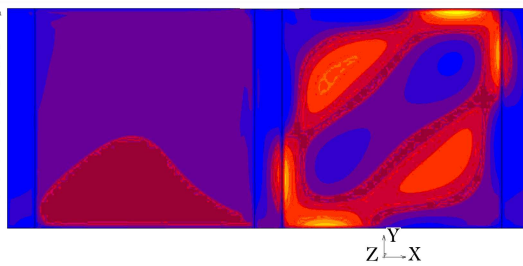
مصالح مورد بررسی در مطالعه‌ی حاضر، فولاد نرمه با مدول کشسانی 210 GPa ، نسبت پواسون 0.3 است. به طور کلی، در محدوده‌ی تخمین عمر خستگی سیکل بالای قطعات سازه‌یی، محدوده‌ی بارگذاری در حد بارهای سرویس است. بنابراین، تنش‌هایی که در حالت پس‌کمانش ورق‌های جان رخ می‌دهد، در محدوده‌ی تنش‌های کشسان مصالح باقی می‌ماند و کرنش‌های خمیری یا به طور کلی وجود ندارند، یا آنقدر کوچک‌کرد که قابل صرف نظر هستند. با وجود این در مطالعه‌ی حاضر، به منظور انجام یک مدل شبیه‌سازی کامل و درنظر گرفتن احتمال رخ دادن حالت خمیری در ورق بال و یا جان، هر دو خاصیت کشسان و خمیری مصالح در آنالیز اجزاء محدود لحاظ شده است. بنابراین از یک مدل کشسان - خمیری کامل بدون سخت‌شدنگی کرنش برای مدل مصالح استفاده و تنش تسلیم برای ورق‌های بال 320 MPa و ورق جان 258 MPa برای مصالح موردنظر فرض شده است. همچنین از معیار تسلیم فون - مایسز برای مدل سازی رفتار حالت خمیری مصالح استفاده شده است.

۳. نواحی بحرانی تنش در جان

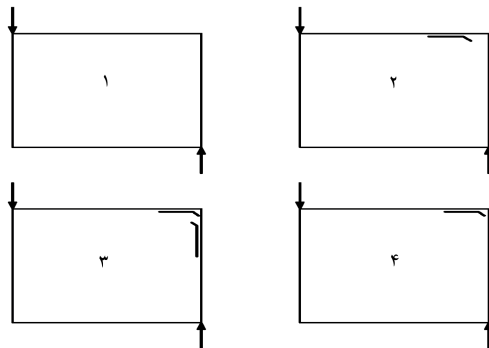
در بخش کوئی، یک تیرورق I شکل مطابق با شکل ۳ استفاده از تحلیل اجراء محدود غیرخطی شبیه‌سازی شده است. برای مطالعه‌ی مشخصات ذاتی و جزئیات مرتبط با حالات تنش در ورق جان، تیرورق در معرض یک بار مونوتونیک افزایشی قرار گرفته و شکل‌های مرتبط با حالات تنش بحرانی و نواحی محتمل ترک خستگی در مقایسه با نتایج آزمایشگاهی موجود در پژوهشی در سال ۱۹۹۵، ارائه شده است.^[۱۸] مشخصات هندسی و مصالح مدل‌ها، روش بارگذاری و شرایط مرزی و روند تحلیل عددی متناظر در ادامه توضیح داده شده است.

۱.۳. مشخصات هندسی و شرایط بارگذاری

تیرورق دو پانلی موردمطالعه با شرایط تکیه‌گاهی ساده، تحت بار نقطه‌بی عمودی در وسط دهانه‌ی تیرورق شکل ۳ بوده است. برای ایجاد شرایط تنش برشی عمده در پانل جان، نسبت طول به عمق پانل جان نسبتاً پایین در نظر گرفته شده است. بال و سخت‌کننده‌های تیرها طوری طراحی شده‌اند که از مودهای گسیختگی ناخواسته جلوگیری به عمل آید. بنابراین پارامترهای هندسی تیرورق مذکور برابر $t_f = 12 \text{ mm}$, $b_f = 250 \text{ mm}$, $t_w = 3 \text{ mm}$, $h_w = l_w = 80 \text{ mm}$



شکل ۶. کانتور توزیع تنش اصلی بیشینه بر وجه بالایی ورق جان.



شکل ۷. محل ترک خستگی در جان تنفس کننده تیرورق فولادی تحت دامنه های مختلف بارگذاری با استفاده از مرجع [۱۸].

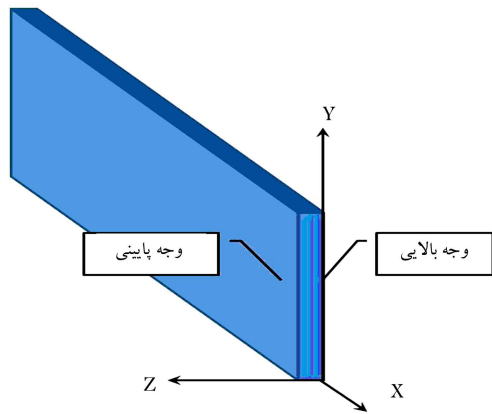
جدول ۱. مشخصات هندسی تیرورق های فولادی.

L_w/h_w	t_w (mm)	h_w (mm)	L_w (mm)	تیرورق
۰,۵	۲-۴	۸۰۰	۴۰۰	A
۱	۲-۴	۸۰۰	۸۰۰	B
۱/۵	۲-۴	۸۰۰	۱۲۰۰	C
۲	۲-۴	۶۰۰	۱۲۰۰	D

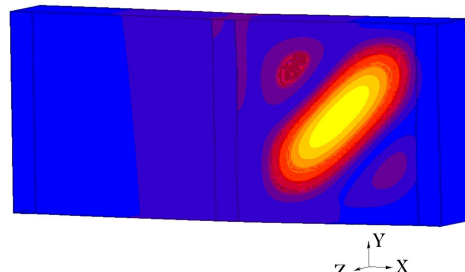
۴. مطالعه‌ی عددی

در بخش حاضر، تعدادی تیرورق I شکل، تحلیل عددی شده و مطالعه‌ی پارامتری گستردگی‌ی بر حالت تنش‌ها در جان تنفس کننده آن‌ها صورت گرفته است. آنالیز تنش در تیرورق‌های فولادی دو پانلی با شرایط هندسی، مرزی و بارگذاری مطابق شکل ۱ با پارامترهای هندسی مطابق جدول ۱ انجام شده است. در همه‌ی تیرورق‌های مذکور $t_s = 7\text{ mm}$, $t_f = 12\text{ mm}$, $b_f = 250\text{ mm}$ در نظر گرفته شده است. خصوصیات مصالح نیز همچون بخش ۲.۳ لحاظ شده است.

در ادامه، اثر پارامترهای مختلفی از جمله: نسبت لاغری، عامل مقیاس نقص اولیه‌ی هندسی، نسبت جانبی و سختی اعضاء مرزی در تغییرات تنش اصلی بیشینه در مقابل با اعمال شده بحث شده است. ابتدا لازم است محل تنش‌های بحرانی در جان تیرورق‌های مذکور شناسایی شود. لذا ابتدا یک آنالیز تنش بر ۴ تیرورق A تا D با مشخصات مذکور با فرض $t_w = 2\text{ mm}$ تحت بار نقطه‌ی $P = 200\text{ kN}$ انجام و پروفایل تغییرشکل در شکل ۱ نیز توزیع تنش‌های اصلی در



شکل ۴. وجه بالایی ورق جان متناظر با $Z = t_w$ و وجه پایینی متناظر با $Z = 0$.



شکل ۵. پروفایل تغییرشکل تیرورق دو دهانه تحت بار متراکز میان دهانه: تغییرشکل خارج از صفحه‌ی پانل چپ محدود شده.

۳.۳. حالت تنش بحرانی

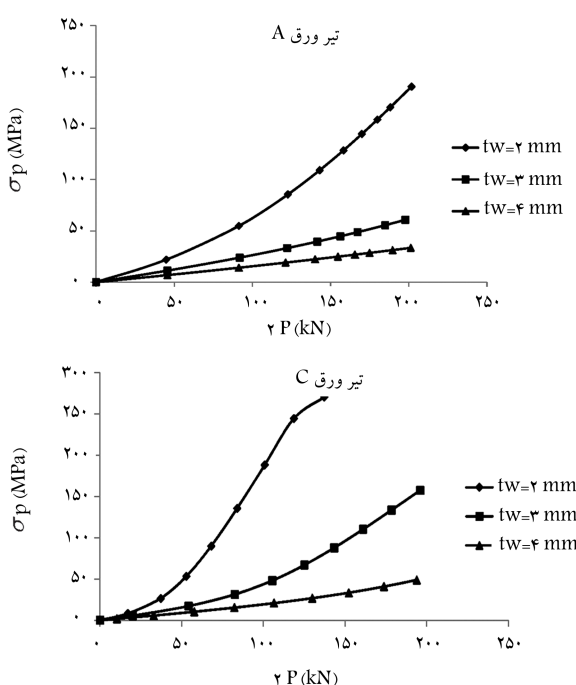
تجربه‌های موجود عددی، [۱۹] در زمینه‌ی آنالیز غیرخطی پانل‌های برشی نشان داده است که به دلیل تغییرشکل‌های خشمی خارج از صفحه در مرحله‌ی پس‌کمانش پانل‌ها، تفاوت عمده‌ی بین الگوی تنش‌ها در دو وجه ورق‌های جان ظاهر می‌شود. بنابراین به منظور تمایز ساختن حالت تنش‌ها در دو وجه داخلی و خارجی، هر دو وجه جان بر $Z = t_w$ و $Z = 0$ به ترتیب متناظر با وجه پایین و وجه بالا هستند) به طور جداگانه بررسی شده‌اند (شکل ۴). البته حالت تنش‌ها بر دو وجه تا قبل از شروع کمانش یکسان است. به محض اینکه پانل کمانش می‌کند، حالت تنش‌ها بر دو وجه تغییر می‌کند. آنالیز پس‌کمانش بر تیرورق انجام و پروفایل تغییرشکل آن در شکل ۵ مشاهده می‌شود.

مطابق با شکل ۵، برآمدگی تغییرشکل پانل جان کمانش کرده، در جهت مثبت Z است. بنابراین تنش‌های خشمی ثانویه در مرزهای گوشه‌ی ورق جان به تنش‌های غشایی موجود در وجه بالایی افزوده و از تنش‌های غشایی موجود در وجه پایین مرزهای گوشی جان در نواحی بحرانی کاسته شده است. کانتور توزیع تنش اصلی بیشینه بر وجه بالایی در شکل ۶ نشان داده شده است که در آن بیشینه‌ی تنش‌های اصلی از 0 تا یک مقدار مثبت بیشینه تغییر می‌کند. بیشینه‌ی تنش‌های اصلی در مرزها در میان کادرهای بسته بیشترین مقدار را دارد. بنابراین نواحی مرزی در معرض شروع ترک خستگی هستند. نتیجه‌ی مذکور با شواهد آزمایشگاهی که محل شروع ترک خستگی را برای تیرورقی با ابعاد مشابه در مرزهای گوشه‌ی پانل تنفس کننده گزارش می‌کند، مطابقت دارد (شکل ۷). [۱۸]

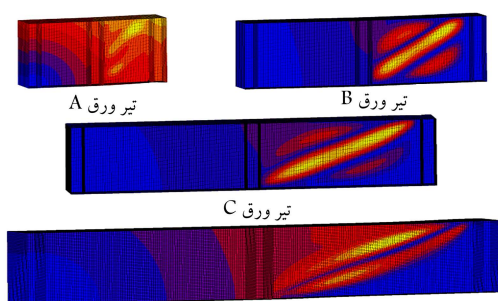
ذکر شده در مقابل تغییرات بار نقطه‌یی میان - دهانه بحث می‌کند. یکی از عوامل بسیار مهم در مقدار تنش‌های بیشینه در جان تیوررق ها، ضخامت ورق جان است. برای بررسی پارامتر مذکور آنالیز تنش تیوررق های A با ضخامت‌های مختلف انجام شده است. در شکل ۱۰، تنش‌های بیشینه‌ی اصلی در نواحی بحرانی جان تیوررق ها بر حسب بار اعمال شده برای ضخامت‌های مختلف جان ارائه شده است. در آنالیز پس کماش ورق های مذکور عامل مقیاس نقص اولیه برابر $Im = 1$ در نظر گرفته شده است. بر طبق دیاگرام‌های مشاهده شده در شکل ۱۰، اگرچه افزایش در بار اعمال شده، افزایش بیشینه‌ی تنش اصلی را در بی خواهد داشت (همان طور که انتظار می‌رود)، ولی نزد افزایش برابر پانل جان با ضخامت $t_w = 2\text{ mm}$ به طور قابل ملاحظه‌یی از پانل‌های با ضخامت ۳ و ۴ (mm) در هر تیوررق بیشتر است.

براساس شکل مذکور در تیرورق های B، C و D در ضخامت 2 mm کاهش قابل ملاحظه در سبیب منحنی ها در مراحل انتهایی بارگذاری رخ می دهد که به سبب تسیم موضعی پانل ها در نواحی بحرانی است. همچنین مشاهده می شود که در یک تراز بارگذاری مشخص، تنش های اصلی بیشینه با کاهش ضخامت جان افزایش می یابد. به علاوه در یک ضخامت جان و تراز باز مشابه، تنش های اصلی بیشینه، یک روند افزایشی از تیرورق A تا D اند. به عبارت دیگر، احتمال شروع ترک و قطع، نسبت حانه، کاهش، می باشد، کمتر می شود.

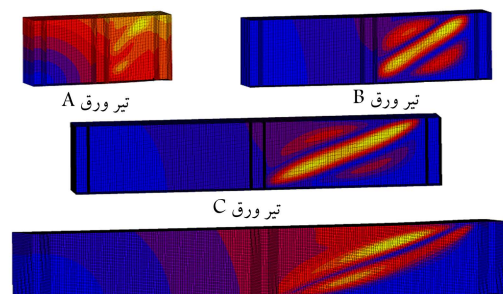
یکی دیگر از عوامل مهم تأثیرگذار در توزیع تنش‌های ورق جان و مقدار آن‌ها در تئیجه پاسخ خستگی آنها ناشی از پدیده‌ی تنفس، بحث شکل و دامنه‌ی نقص‌های هندسی ورق جان آن‌هاست که بدلیل عوامل اجرایی و تنش‌های پسماند ناشی از جوشکاری وجود آنها غیرقابل صرف‌نظر است. شکل ۱۱، تغییرات تنش اصلی بیشینه را در پانل جان در مقابل بار واردہ برای عوامل مختلف نقص اولیه در تیرورق‌های A تا D نشان می‌دهد. تنش‌های اصلی بیشینه‌ی گزارش شده در شکل ۱۱، مربوط به نواحی بحرانی، پانل جان با ضخامت 3 mm است. مشاهده



شکل ۱۰. تنش اصلی بیشینه بر حسب بار اعمال شده در نواحی بحرانی پانل های جان تنفس کننده برای ضخامت های مختلف ورق جان و $Im = 1$ برای تیورق های الی.

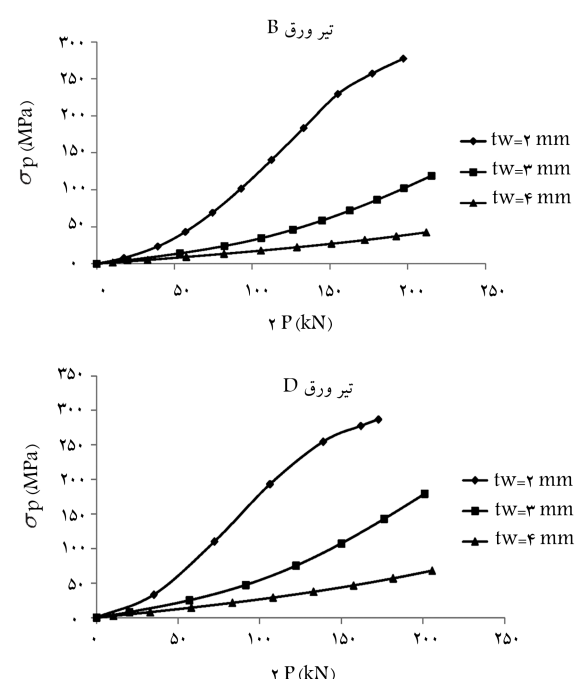


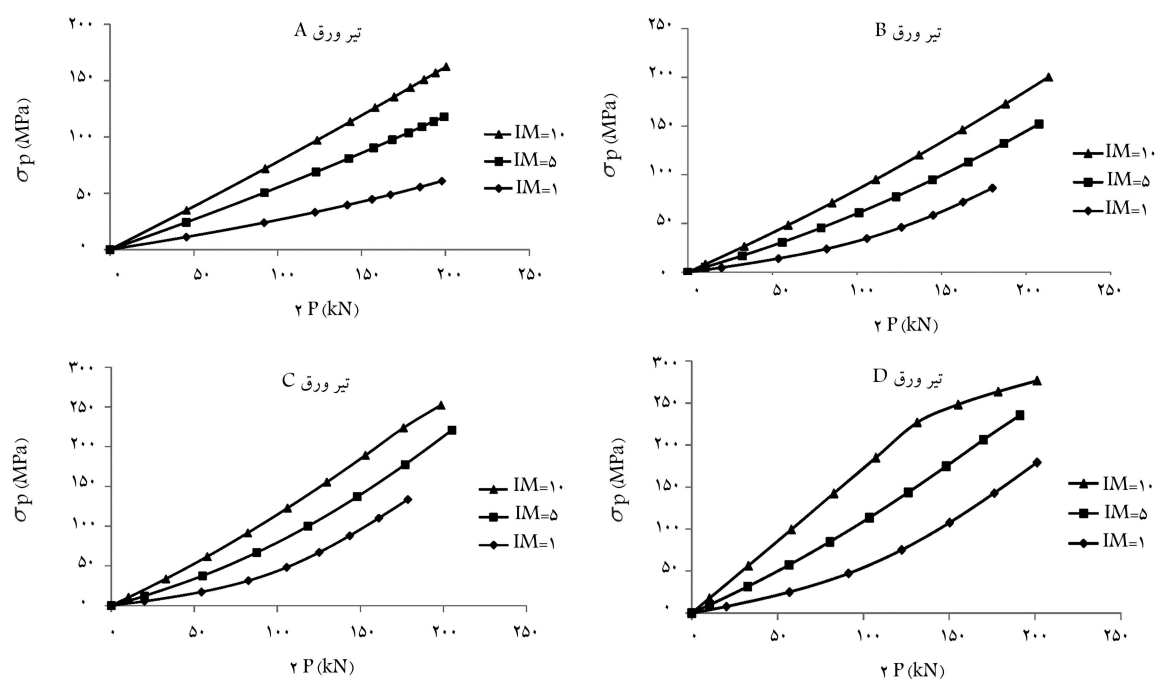
شکل ۸. تغییرشکل تیرورک های فولادی تحت بار متتمرکز میان دهانه (از تغییرشکل خارج از صفحه پائین سمت چپ ممانعت شده است).



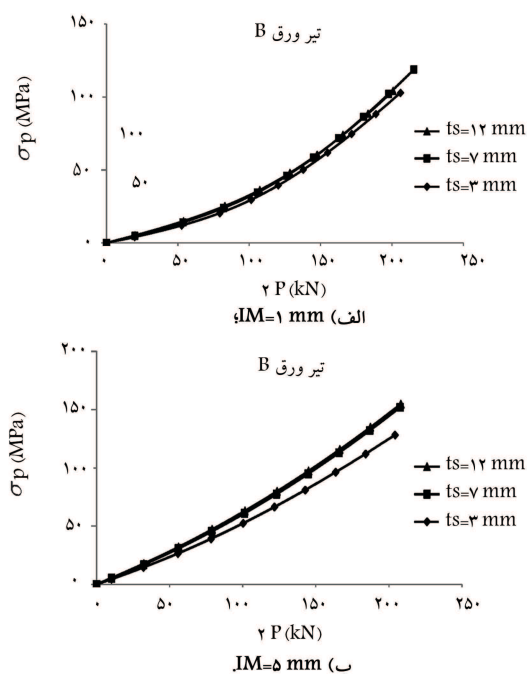
شکل ۹. توزیع تنش اصلی بیشینه در پس‌کمانش پانل جان تیروورق‌های فولادی

تیرورق‌ها که دست‌خوش تغییرشکل‌های خارج از صفحه شده‌اند، نشان داده شده است؛ که در آن‌ها مناطق میان کادرهای بسته‌ی نقطه‌چین، نواحی بحرانی است و احتمال شروع ترک خستگی در آن‌ها وجود دارد. مطالعات پارامتریک عددی که در ادامه مطرح شده است، تغییرات پیشنهادی تنش‌های اصلی را در نواحی بحرانی،





شکل ۱۱. تنش اصلی بیشینه بر حسب بار اعمال شده در نواحی بحرانی جان تنفس کننده برای نقص اولیه‌ی مختلف و $t_w = 3\text{ mm}$ برای تیرورق‌های A دلیل شدنی است.



شکل ۱۲. بیشینه‌ی تنش اصلی بر حسب بار واردہ در مناطق بحرانی پانل جان تنفس کننده برای ضخامت‌های مختلف سخت‌کننده‌های عمودی و نقص اولیه.

فولادهای محافظت نشده در برابر هوازدگی (مگر مواردی که مشخصات آنها در جدول مخصوصی داده شود) است. بخش مذکور فقط مورد استفاده فولادهایی است که مشخصات طاقت آنها مطابق EN 1993-1-10 باشد. روش‌های ارزیابی خستگی به غیر از روش $\Delta\sigma_R - N$ مانند روش کرنش شکاف یا مکانیک شکست، توسط بخش مذکور پوشش داده نمی‌شود. واژه‌های تنش اسمی، تنش اسمی اصلاح شده

می‌شود که در همه‌ی تیرورق‌ها در یک تراز بار مشخص با افزایش عامل نقص اولیه، تنش‌های اصلی بیشینه نیز افزایش می‌یابد. به علاوه در مقادیر کوچک عامل نقص اولیه، منحنی‌ها غیرخطی هستند؛ در حالی که در عوامل نقص اولیه‌ی بزرگ، یعنی $Im = 10$ ، منحنی‌ها تقریباً خطی می‌شوند. در تیرورق D با $Im = 10$ ، شبیه منحنی در مراحل نهایی بارگذاری به سبب تسليم موضعی ورق جان در نواحی بحرانی کاهش می‌یابد.

اثر سختی اعضاء مرزی در ترکیب با عامل مقیاس نقص اولیه در پاسخ تنفس جان تیرها در شکل ۱۲ مشاهده می‌شود. شکل مذکور مرتبط با تیرورق B با انتخاب ضخامت جان 3 mm و ضخامت‌های مختلف سخت‌کننده‌ی عمودی است. مطابق شکل ۱۲، افزایش ضخامت سخت‌کننده در یک تراز بار ثابت تنش‌های اصلی بیشینه را در نواحی بحرانی افزایش می‌دهد. این نتیجه مخصوصاً در پانل‌هایی با عامل مقیاس نقص اولیه‌ی بزرگتر، محسوس‌تر است. به عبارت دیگر، پانل‌هایی با نقص اولیه‌ی هندسی کوچک‌تر، حساسیت کمتری به تغییرات ضخامت اعضاء مرزی دارند. به علاوه پانل‌هایی با ضخامت سخت‌کننده‌های 7 mm و 12 mm در هر دو مورد 5 و 1 Im پاسخ یکسانی نشان می‌دهند و اختلاف پاسخ از سخت‌کننده به ضخامت 3 mm تا ضخامت 7 mm در 5 Im نسبت به 1 Im خیلی بیشتر است.

۵. ارزیابی عمر خستگی

بخشی از آئین نامه‌ی اروپا شماره‌ی ۳ با عنوان EN 1993-1-9^[۱۲] به ارزیابی عمر خستگی قطعات سازه‌یی و اتصالات تحت بارهای سرویس اختصاص دارد. در بخش مذکور، روش‌هایی برای ارزیابی مقاومت خستگی اعضاء و اتصالات ارائه شده است که قابل استفاده برای انواع فولادهای سازه‌یی، فولادهای ضد زنگ و

— حد خستگی بارگذاری دامنه‌ی ثابت^۲: حد دامنه‌ی تنش برشی یا مستقیم است که زیر آن هیچ خرابی خستگی در آزمایش‌های تحت شرایط تنش دامنه‌ی ثابت رخ نمی‌دهد. تحت شرایط دامنه‌ی متغیر همه‌ی دامنه‌های تنش باید زیر این حد باشد، تا هیچ گونه خرابی خستگی ایجاد نشود.

— حد بریدن^۳: حد تنشی است که دامنه‌های تنش طیف طراحی اگر زیر آن باشد، هیچ خرابی به خرابی تجمعی اضافه نمی‌کند.

مقاومت خستگی برای دامنه‌ی تنش اسمی توسط یک سری منحنی‌های لگاریتمی $\log \Delta\sigma_r - \log N$ (منحنی‌های $S-N$) که متناظر با شماره‌ی یکی از جزئیات خاص است، بیان می‌شود. هر یک از جزئیات با عددی مشخص می‌شود که بیان‌گر مقاومت خستگی مرجع آن جزئیات ($\Delta\sigma_c$) در $10^6 \times 2$ سیکل است.

- برای تنش‌های اسمی با دامنه‌ی ثابت، مقاومت خستگی از رابطه‌ی 4 به دست می‌آید:

$$\Delta\sigma_R^m N_R = \Delta\sigma_C^m 2 \times 10^6 \text{ with } m = 3 \text{ for } N \leq 5 \times 10^6 \quad (4)$$

حد خستگی دامنه‌ی ثابت تنش نرمال از رابطه‌ی 5 به دست می‌آید:

$$\Delta\sigma_D = \frac{2}{5} \Delta\sigma_C = 0.427 \Delta\sigma_C \quad (5)$$

- برای طیف تنش‌ها با دامنه‌ی تنش بالا و پایین حد خستگی دامنه‌ی ثابت، مقاومت خستگی ($\Delta\sigma_D$) باید براساس منحنی مقاومت خستگی امتداد باید و مطابق روابط 6 و 7 محاسبه شود:

$$\Delta\sigma_R^m N_R = \Delta\sigma_C^m 2 \times 10^6 \text{ with } m = 3 \text{ for } N \leq 5 \times 10^6 \quad (6)$$

$$\Delta\sigma_R^m N_R = \Delta\sigma_D^m 5 \times 10^6 \text{ with } m = 5 \text{ for } 5 \times 10^6 \leq N \leq 10^8 \quad (7)$$

حد بریدن تنش نیز از رابطه‌ی 8 به دست می‌آید:

$$\Delta\sigma_L = \left(\frac{5}{10}\right)^{1/5} \Delta\sigma_D = 0.549 \Delta\sigma_D \quad (8)$$

۲.۵. خستگی تنفس جان

در بخش حاضر، تنش‌های هندسی در نواحی بحرانی تیورق‌های بخش قیل برای دامنه‌های مختلف بارگذاری محاسبه شده است. با توجه به اینکه اتصال جان تیورق به بال از طریق جوش گوش فراهم می‌شود که در آن جوش در تحمل بار سهیم است، بنابراین از نمونه‌ی جوش شماره‌ی 7 در جدول ۱.۱۶ نامه‌ی اروپا فصل ۹۰-۱۹۹۳-۱-۹ که مقاومت خستگی آن متناظر با جزئیات طبقه‌بندی شده است، محاسبه و نتایج مذکور در جدول ۲ ارائه شده است. لذا شماره‌ی جزئیات حد خستگی دامنه‌ی ثابت تنش نرمال برابر $66,33 N/mm^2$ محاسبه شده است. یعنی اگر تنش‌های هندسی نقاط بحرانی تیر زیر این حد باشند، چهار خستگی نمی‌شوند. در تیورق‌های مذکور بخش حاضر $t_s = 7 mm$ و $t_w = 1 mm$ لحاظ شده است.

و تنش هندسی که در دستورالعمل مذکور استفاده می‌شوند، در بخش حاضر تعریف شده‌اند. توجه شود که تنش اسمی و تنش اسمی اصلاح شده مربوط به جزئیات سازه‌های جدول‌های ۸.۱^{۱۰} الی ۸.۱ در همان دستورالعمل هستند و تنش هندسی مورد استفاده در جزئیات جدول ۱-۲ دستورالعمل مذکور ارائه شده است. از آنجا

که جزئیات سازه‌ی مربوط به تنش در جدول‌های ۸.۱^{۱۰} الی ۸.۱ در دستورالعمل مذکور نمی‌گنجد، برای همین از جزئیات موجود در جدول ۱-۲ همان دستورالعمل برای تعیین عمر خستگی استفاده می‌شود. بدین ترتیب که ابتدا باید تنش هندسی در محل‌های بحرانی نزدیک جوش محاسبه و سپس با توجه به نوع جوش مقاومت خستگی در محل اتصال ورق جان به بال محاسبه شود.

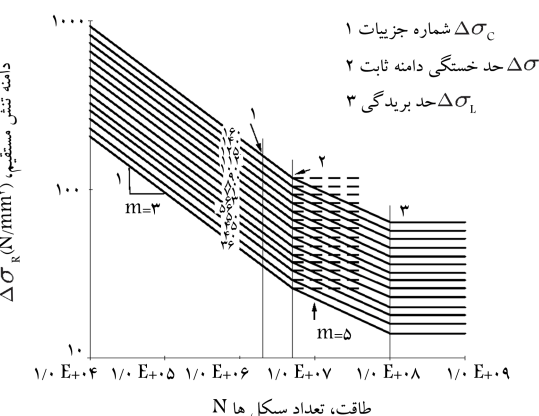
— تنش اسمی: تنش در مصالح مادر یا در جوش نزدیک به محل احتمالی ترک، که از طریق تئوری حالت کشسانی بدون درنظر گرفتن هیچ یک از آثار تمرکز تنش محاسبه می‌شود (تش اسمی در دستورالعمل مذکور می‌تواند یک تنش مستقیم، یک تنش برشی، یک تنش اصلی یا یک تنش معادل باشد).

— تنش اسمی اصلاح شده: یک تنش اسمی است که در ضریب تمرکز تنش مناسب (k_f) ضرب می‌شود و می‌تواند اثر ناپیوستگی خاصی را که در جزئیات سازه‌ی لحاظ نشده است، در نظر گیرد.

— تنش هندسی: بیشینه‌ی تنش سطحی اصلی است که در مصالح مادر نزدیک پنجه‌ی جوش اتفاق می‌افتد و در محاسبه‌ی آن، آثار تمرکز تنش به دلیل هندسه‌ی کلی جزئیات سازه‌ی خاص اش، لحاظ می‌شود. باید توجه شود که در محاسبه‌ی تنش هندسی، اثر موضعی تمرکز تنش به دلیل شکل پروفایل جوش در نظر گرفته نمی‌شود. اثر تنش هندسی به طور ضمنی در منحنی‌های گروه B لحاظ شده است.

۱.۵. مقاومت خستگی

در جدول‌های جزئیات بخش مذکور در قسمت شماره‌ی جزئیات، عدددهای وجود دارد که اتفاقی نیستند و علاوه بر اینکه شماره‌ی جزئیات موردنظر و شماره‌ی منحنی ارزیابی خستگی مرتبط را نشان می‌دهند، مقاومت خستگی مرجع ($\Delta\sigma_c$) را بر حسب N/mm^2 نیز نشان می‌دهند. مقاومت خستگی مرجع در واقع مقاومت خستگی جزئیات مرتبط در $N_c = 2 million$ سیکل است. دو اصطلاح مورد استفاده در تعیین مقاومت خستگی با استفاده از نمودار شکل ۱۳ به این صورت تعریف می‌شود:



شکل ۱۳. منحنی‌های مقاومت خستگی برای دامنه‌های تنش مستقیم از آینه‌ی نامه‌ی اروپا ۹۰-۱۹۹۳-۱-۹، EN ۱۹۹۳-۱-۹^[۱۳]

- افزایش عامل مقیاس نقص اولیه، اثر افزایشی در بیشینه‌ی تنش‌های اصلی پانل جان دارد. در مقادیر نقص‌های کم، منحنی‌های پاسخ بیشینه‌ی تنش اصلی بر حسب بار واردۀ غیرخطی است، حال آنکه منحنی‌های مذکور برای مقادیر نقص اولیه‌ی بزرگ، تقریباً خطی هستند.

- اثر سختی اعضاء مرزی در پاسخ تنش تنفس پانل جان در مقادیر بالای عامل نقص اولیه چشم‌گیرتر است.

جزئیات خاصی مختص تنفس جان تیرورق و تعیین عمرخستگی آن‌ها در آینه‌های طراحی وجود ندارد، ولی عمر خستگی سازه‌ی مذکور می‌تواند با استفاده از جزئیات شماره‌ی ۹۰ آینه‌می اروپا شماره‌ی ۳ فصل ۱-۹ EN ۱۹۹۳-۱-۹ محاسبه‌ی تنش اصلی بیشینه در مجاورت جوش‌گوشه تخمین زده شود.

جدول ۲. عمر خستگی جان تنفس‌کننده‌ی تیرورق‌های فولادی.

تیرورق	ΔP (kN)	$\Delta \sigma_p$ (MPa)	N_R
A1	۷۹/۱۱	۱۲۸/۴۶	$۶,۸۸ \times ۱۰^۵$
A2	۱۰۲/۶۵	۱۹۶/۰۵	$۱,۹۳ \times ۱۰^۵$
B1	۶۶/۵۷	۱۸۳/۳۸	$۲,۳۶ \times ۱۰^۵$
B2	۹۸/۶۴	۲۷۷/۳۹	$۶,۸۳ \times ۱۰^۴$
C1	۴۴/۷۱	۱۵۲/۲۸	$۴,۱۳ \times ۱۰^۵$
C2	۷۱/۷۷	۲۷۷/۹۷	$۶,۷۹ \times ۱۰^۴$
D1	۴۶/۳۶	۱۶۰/۸۴	$۳,۵۰ \times ۱۰^۵$
D2	۷۲/۳۵	۲۶۰/۱۳	$۸,۲۸ \times ۱۰^۴$

فهرست علائم

b : عرض ورق (mm);

b : عرض بال تیرورق (mm);

E : مدول یانگ (N/mm^2);

h_w : عمق پانل جان تیرورق (mm);

Im : عامل مقیاس نقص اولیه;

k_f : ضریب تمرکز تنش;

k_s : ضریب کمانش برشی;

L_w : طول پانل جان تیرورق (mm);

N : تعداد سیکل‌های گسیختگی;

P : بار نقطه‌بی میان دهانه (kN);

t : ضخامت ورق (mm);

t_f : ضخامت بال تیرورق (mm);

t_s : ضخامت سخت‌کننده (mm);

t_w : ضخامت جان تیرورق (mm);

$\Delta \sigma_C$: مقاومت خستگی مرجع (N/mm^2);

$\Delta \sigma_D$: حد خستگی دامنه ثابت تنش نرمال (N/mm^2);

$\Delta \sigma_L$: حد بریدن تنش (N/mm^2);

$\Delta \sigma_R$: مقاومت خستگی (N/mm^2);

φ : نسبت جانبی;

τ_{cr} : تنش برشی بحرانی;

ν : نسبت پواسون.

۶. نتیجه‌گیری

تحلیل عددی تعدادی تیرورق برای بررسی اثر تنفس جان در مقاومت خستگی آن‌ها انجام شد. پس‌کمانش ورق جان با لحاظ کردن اثر تغییرشکل‌های بزرگ در مدل اجزاء محدود انجام شد. نواحی تشکیل ترک‌های خستگی با توجه به حالت تنش‌ها در ورق جان مطالعه شدند که منطبق بر نواحی بحرانی تشکیل ترک به دست آمده از نتایج آزمایشگاهی بودند. همچنین در نوشتار حاضر، اثر رامترهای هندسی مختلفی در مقادیر تنش‌های اصلی بیشینه در جان تیرورق که مهم‌ترین عامل تشکیل ترک خستگی است، بررسی شد. رابطه‌ی تنش‌های هندسی با پارامترهای هندسی تیرورق به شدت غیرخطی است و یافتن یک رابطه‌ی صریح تقریباً ناممکن است. بنابراین انجام یک آنالیز اجزاء محدود برای به دست آوردن تنش‌های مذکور اجتناب ناپذیر است. در نوشتار حاضر، نکات حاصل از آنالیز اجزاء محدود برای یافتن تنش‌های بیشینه‌ی سطحی به این شکل خلاصه شده است:

- بیشینه‌ی تنش‌های اصلی در مزه‌های گوششی پانل جان محل تقاطع بال تیرورق و سخت‌کننده‌های عمودی اتفاق می‌افتد که نواحی بحرانی مذکور، محل شروع ترک‌های خستگی است.

- با افزایش بار اعمال شده، مقادیر تنش‌های اصلی بیشینه افزایش می‌یابد. ولی نزد افزایش در ورق‌های خیلی نازک از ورق‌های ضخیم‌تر خیلی بیشتر است.
- کاهش چشم‌گیری در روند تنش اصلی بیشینه بر حسب بار در مراحل انتهایی بارگذاری در ورق‌های خیلی نازک مشاهده می‌شود که به دلیل تسیل موضعی نواحی بحرانی پانل‌هاست.

پانوشت‌ها

1. Eurocode3
2. constant amplitude fatigue limit
3. cut-off limit

منابع (References)

1. Davies, A.W. and Roberts, T.M. "Numerical studies of fatigue induced by breathing of slender web plates", *Journal of Thin Walled Structures*, **25**(4), pp. 319-333 (1996).
2. Davies, A.W., Roberts, T.M., Evans, H.R. and Bennet,

- J.H. "Fatigue of slender web plates subjected to combined membrane and secondary bending stresses", *Journal of Constructional Steel Research*, **30**(1), pp. 85-101 (1994).
3. Osman, M.H. and Roberts, T.M. "Prediction of the fatigue life of slender web plates using fracture mechanics concepts", *Journal of Thin Walled Structures*, **35**(2), pp. 81-100 (1999).
4. Yen, B.T. and Mueller, J.A. "Fatigue tests of large sized welded plate girders", *Welding Research Council Bulletin*, **118**(118), pp. 1-25 (1966).
5. Mueller, J.A. and Yen, B.T. "Girder web boundary stresses and fatigue", *Welding Research Council Bulletin*, **127**, pp. 1-22 (1968).
6. Toprac, A.A. and Natarajan, M. "Fatigue strength of hybrid plate girders", *Journal of the Structural Division*, **97**(4), pp. 1203-1225 (1971).
7. Maeda, Y. "Ultimate static strength and fatigue behavior of longitudinally stiffened girders in bending", In: IABSE-Colloquium, London, UK. Design of Plate and Box Girders for Ultimate Strength (1986).
8. Duchene, Y. and Maquoi, R. "Fatigue resistance to web breathing of slender plate girders subjected to shear", *Journal of Constructional Steel Res.*, **46**(1-3), pp. 416 (1998).
9. Crocetti, R. "Web breathing of full-scale slender I-girders subjected to combined action of bending and shear", *Journal of Constructional Steel Research*, **59**(3), pp. 271-290 (2003).
10. Skaloud, M. and Zornerova, M. "The fatigue behavior of the breathing webs of steel bridge girders", *Journal of Civil Engineering and Management*, **XI**(4), pp. 323-336 (2005).
11. Skaloud, M., Zornerova, M. and Urushadze, S. "The breathing of webs under repeated partial edge loading", *Procedia Engineering*, **40**, pp. 463-468 (2012).
12. Kala, Z. and Kala, J. "Resistance of thin-walled plate girders under combined bending and shear", *WSEAS Transactions on Applied and Theoretical Mechanics*, **5**(4), pp. 242-251 (2010).
13. "Eurocode 3: Design of steel structures: BS EN 1993-1-9: Part 1-9: Fatigue", European Committee for Standardisation (CEN), Brussels (2005).
14. Maeda, Y. and Okura, I. "Fatigue strength of plate girders in bending considering out of plane deformation of the web", *Proc. JSCE Struct. Engng./Earthquake Engng.*, **1**(2), pp. 1495-1595 (1984).
15. Okura, I. and Maeda, Y. "Analysis of deformation induced fatigue of thin walled plate girder in shear", *Proc. JSCE Struct. Engng. Earthquake Engng.*, **1**(2), pp. 377-384 (1985).
16. Davies, A.W. and Roberts, T.M. "Numerical studies of fatigue induced by breathing of slender web plates", *Thin Walled Structures*, **25**(4), pp. 319-333 (1996).
17. Gunther, H.P. and Kuhlmann, U. "Numerical studies on web breathing of unstiffened and stiffened plate girders", *Journal of Constructional Steel Research*, **60**(3-5), pp. 549-559 (2004).
18. Roberts, T.M., Davies A.W. and Bennett J.H. "Fatigue shear strength of slender web plates", *J. Struct. Eng.*, **121**(10), pp. 1396-1401 (1995).
19. Alinia, M.M., Habashi, H.R. and Khorram, A. "Nonlinearity in the postbuckling behavior of thin steel shear panels", *Thin-Walled Struct.*, **47**(4), pp. 412-420 (2009).
20. Alinia, M.M., Gheitasi, A. and Erfani, S. "Plastic shear buckling of unstiffened stocky plates", *Constr. Steel Res.*, **65**(8-9), pp. 1631-1643 (2009).